

を示した。

CODの全測点平均値は2m層で $1.2 \pm 0.2 \text{ mg/L}$ 、B-1m層では $1.2 \pm 0.4 \text{ mg/L}$ であり、前年調査時（2m層： $1.3 \pm 0.3 \text{ mg/L}$ 、B-1m層： $1.3 \pm 0.3 \text{ mg/L}$ ）と大きな変化はなかった。図2に英虞湾における水中（0m層）のCODの年変動を示した。1980年代は増加傾向にあったが、1990年代初頭にピークに達した後、減少傾向に転じた。2000年代に入ってからはやや増加傾向を示している。

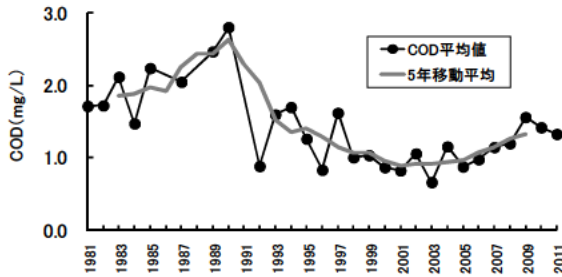


図2. 英虞湾における水中（0m層）CODの年変動（20測点平均値）

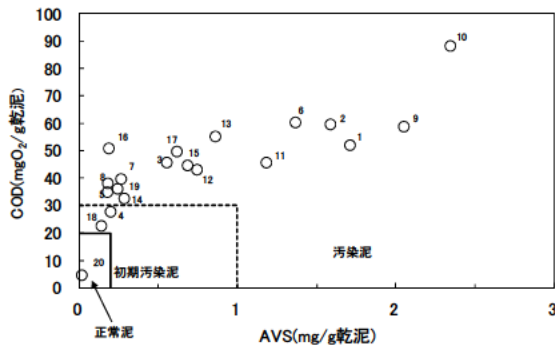


図3. 水産用水基準（改訂版）*にもとづく平成23年の底質汚染度の評価
水産用水基準（日本水産資源保護協会、1995）に基づく。水産用水基準では、 $\text{AVS} \leq 0.2$ かつ $\text{COD} \leq 20$ を「正常泥」、 $\text{AVS} \leq 1.0$ かつ $\text{COD} \leq 30$ を「正常泥」、 $\text{AVS} > 1.0$ かつ $\text{COD} > 30$ を「初期汚染泥」、 $\text{AVS} > 1.0$ または $\text{COD} > 30$ を「汚染泥」としている。

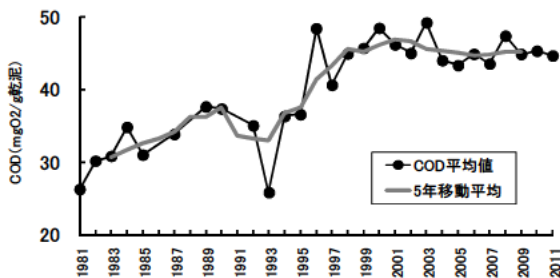


図4. 英虞湾における底泥のCODの年変動（20測点平均値）

(2)底質

全湾調査時（8月10日）における底質CODの全測点平均値は $44.7 \pm 17.1 \text{ mgO}_2/\text{g}$ 乾泥であり、前年調査時（ $45.3 \pm 18.2 \text{ mgO}_2/\text{g}$ 乾泥）とほとんど変化はなかった。東日

本大震災による津波が湾内の底質等に大きな影響を及ぼすことが心配されたが、少なくとも測点の範囲内においてCODを見る限り大きな変化はなかったと判断される。

例年同様、水産用水基準（1995年、日本水産資源保護協会）に従い、 $\text{AVS (TS)} \leq 0.2 (\text{mg/g}$ 乾泥)かつ $\text{COD} \leq 20 (\text{mgO}_2/\text{g}$ 乾泥)を「正常泥」、 $\text{AVS} \leq 1.0$ かつ $\text{COD} \leq 30$ で正常泥にあてはまらないものを「初期汚染泥」、 $\text{AVS} > 1.0$ または $\text{COD} > 30$ を「汚染泥」と区分し、今期の結果をこれに当てはめてた（図3）。前年同様、「正常泥」と評価されたのは湾口部のSt.20（御座）のみであった。一方、「初期汚染泥」と評価されたのは湾口部のSt.18（越賀）、湾中央部のSt.4（タコノポリ）の2地点で、前年このランクにあった湾奥部のSt.14（船越）については、今期は「汚染泥」と評価された。湾内測点のほとんどが「汚染泥」に属する点は近年においてほとんど変化していない。図4に底泥中におけるCODの年変動を示した。改善傾向がみられる水中のCOD（図2）とは対照的に、1980年代から1990年代後半にかけて底泥のCODは増加の一途をたどった。2000年代に入り、増加傾向に歯止めがかかったものの、高い水準で停滞しており、近年において目立った改善は認められていない。

2) 冬季全湾調査

冬季全湾調査時（12月2日）における水温の全測点平均値は、2m層で 16.8 ± 0.7 （標準偏差） $^{\circ}\text{C}$ 、B-1m層で $18.2 \pm 0.8^{\circ}\text{C}$ であった。前年調査時と比べ、2m層で約 1°C 、B-1m層で約 2°C 高めであった。塩分の全測点平均値は、2m層で 33.0 ± 0.4 、B-1m層で 33.7 ± 0.4 であり、両層とも前年調査時並の値を示した。溶存酸素量の全測点平均値は、2m層で $7.4 \pm 0.2 \text{ mg/L}$ 、B-1m層で $6.8 \pm 0.4 \text{ mg/L}$ であった。DINの全測点平均値は、2m層で $2.45 \pm 1.03 \mu\text{M}$ 、B-1m層で $3.60 \pm 0.93 \mu\text{M}$ であり、両層とも前年調査時（2m層： $0.96 \pm 0.94 \mu\text{M}$ 、B-1m層： $0.92 \pm 0.46 \mu\text{M}$ ）よりかなり高い値を示した。一方、 $\text{PO}_4\text{-P}$ の全測点平均値は、2m層で $0.19 \pm 0.06 \mu\text{M}$ 、B-1m層で $0.24 \pm 0.06 \mu\text{M}$ であり、DIN同様、両層とも前年調査時（2m層： $0.14 \pm 0.06 \mu\text{M}$ 、B-1m層： $0.14 \pm 0.03 \mu\text{M}$ ）より高い値を示した。CODの全測点平均値は2m層で $0.7 \pm 0.2 \text{ mg/L}$ 、B-1m層では $0.6 \pm 0.2 \text{ mg/L}$ であり、前年調査時（2m層： $0.6 \pm 0.1 \text{ mg/L}$ 、B-1m層： $0.6 \pm 0.2 \text{ mg/L}$ ）と大きな変化はなかった。

2. 底質および底生生物の季節変動調査

St.A（立神）とSt.B（タコノポリ）における底生生物の種類数、個体数、湿重量および生物の多様度指数（H'）の季節変化を図5に示した。

St.A (立神) では、例年同様、夏季に種類数、個体数が減少した。しかし、前年同期ほどの顕著な減少は認められなかった。春季(4月)から夏季(7月)にかけての減少率は、種類数で45%、個体数で30%と、ともに前年同期(種類数で53%、個体数で73%の減少)より小さかった。前年の夏季には、底層の溶存酸素量が2mg/L以下に低下していたが、今期は4mg/Lを超え、夏季としては高い値を示した。このように、底層において豊富な酸素濃度が維持されたことが底生生物の高生残につながったと推察される。春・夏季の優占種は多毛類のアシナガギボシイソメ(*Lumbrineris longifolia*)、ミズヒキゴカイ類(*Chaetozone* sp.) および触手動物のホウキムシ類(*Phoronis* sp.)であった。前年の春季に卓越した甲殻類(アリアケドロクダムシ*Corophium acherusicum*、テナガワレカラ *Caprella gigantochir*、ウミホタル *Vargula hilgendorfi* 主体)は今春季においては少なかった。秋季は底生生物サンプルの固定ミス(ホルマリン固定不足による腐敗)で正確な種査定、計数ができなかった。St.Aの底層(B-1m層)では9月に溶存酸素量が急減して貧酸素状態となり、底生生物への影響が心配されたが、1月の調査では種類数、個体数とも大きな減少がみられなかった。このことから、秋季における貧酸素水塊の影響は少なかったと思われる。な

お、汚濁指標種であり、例年、夏・秋季を中心に同測点で出現するヨツバネスピオA型(多毛綱)は、冬季に1個体出現したのみであった。同種の出現は、近年減少傾向にある。

一方、St.B(タコノボリ)では種類数、個体数とも四季を通じて前年より多く出現し、生物多様度指数も周年にわたって安定していた(図5)。例年同様、いずれの季節も多毛類が優占し、アンボンギボシイソメ(*Lumbrineris amboinensis*)、ニセタマガシフサゴカイ(*Terebellides kobei*)、イトゴカイ類(*Notomastus* sp.)等が多く出現した。

生物多様度指数の年変動については、両測点とも年変動はあるものの、一定の増減傾向は認められず、おおむね安定していると言える。また、東日本大震災による津波の影響については、底生生物の種類数や個体数、多様性指数等の季節、年変動を見る限り比較的小さかったと推察される。この点については津波前後の底質の変化が小さかったこととも一致している。

関連報文

志摩市・三重県水産研究所(2012):平成23年度英虞湾汚染対策調査報告書。

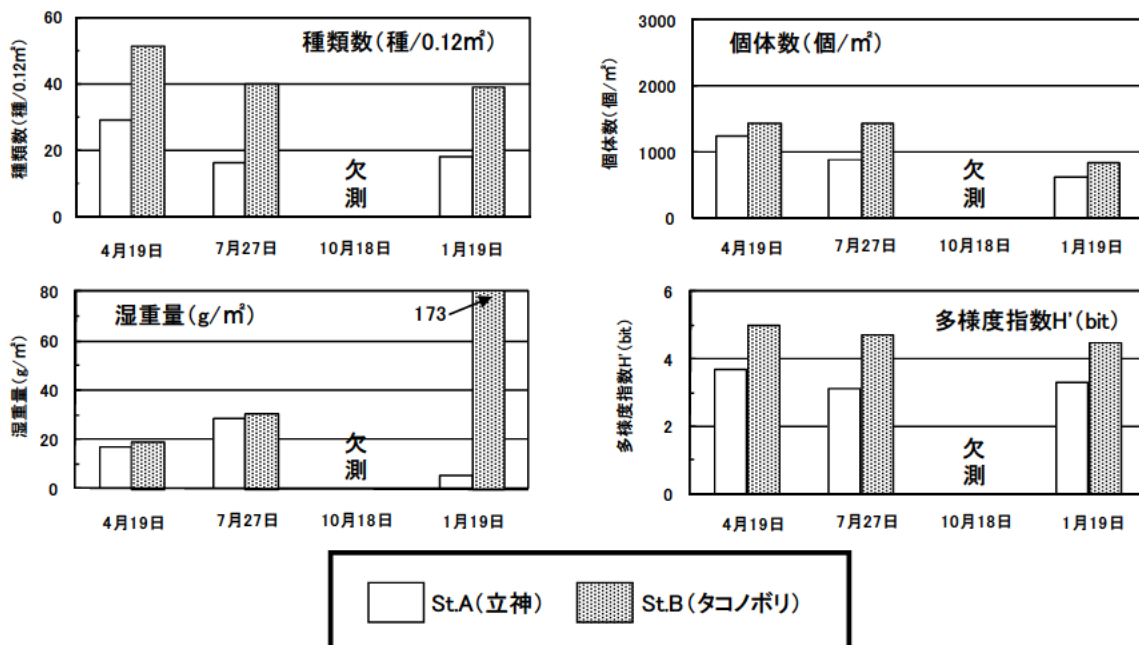


図5. St.A (立神) と St.B (タコノボリ) における底生生物の種類数、個体数、湿重量、多様度指数H'の変化